

Informe de Simulación: Sistemas de Mantenimiento para Camiones

Carlos Daniel Largacha Leal C-312

1. Introducción

Este proyecto analiza dos sistemas de mantenimiento para camiones en la empresa *Refrigeración Hermanos Pérez*, con el objetivo de determinar cuál ofrece mejor equilibrio entre eficiencia operativa y costos. Los camiones llegan al taller siguiendo un proceso estocástico, y se comparan dos configuraciones: dos servidores en paralelo con tiempo de servicio promedio de 30 minutos por camión y un único servidor más rápido, con tiempo de servicio promedio de 15 minutos.

La elección del sistema impacta directamente en la productividad de la empresa, ya que tiempos de espera prolongados generan pérdidas económicas.

1.1. Objetivos y Metas

Los objetivos principales son:

1. **Modelar matemáticamente** ambos sistemas usando teoría de colas (M/M/s).
2. **Comparar métricas clave:**
 - Número promedio de camiones en el sistema (L).
 - Tiempo promedio en el sistema (W).
3. **Evaluar costos** para determinar la configuración óptima bajo restricciones económicas.

1.2. Variables de Interés

Las variables críticas para el análisis incluyen:
Estas variables permitirán calcular:

$$\text{Costo Total} = L \times C_{\text{espera}} + C_{\text{sistema}} \quad (1)$$

Cuadro 1: Variables del problema

Variable	Descripción	Unidad
λ	Tasa de llegada de camiones	camiones/minuto
μ_1	Tasa de servicio (Sistema 1)	camiones/minuto
μ_2	Tasa de servicio (Sistema 2)	camiones/minuto
L	Número promedio de camiones en el sistema	adimensional
W	Tiempo promedio en el sistema	minutos
C_{espera}	Costo por minuto de espera	€/minuto
C_{sistema}	Costo operativo del sistema	€/minuto

2. Detalles de Implementación

El desarrollo del modelo operacional se basa en los principios de las colas Markovianas, donde las transiciones entre estados siguen procesos estocásticos con tasas constantes. Para el sistema M/M/2, el cálculo de P_0 representa la solución al sistema de ecuaciones de balance detallado, considerando todas las posibles combinaciones de ocupación de servidores. Este valor fundamental permite derivar las métricas operativas restantes mediante relaciones recursivas propias de los procesos de nacimiento-muerte.

En contraste, el sistema M/M/1 aprovecha la simetría de su configuración única para reducir las ecuaciones a una forma cerrada. La relación $L = \rho/(1 - \rho)$ emerge naturalmente al resolver el balance de tasas para estados consecutivos, simplificación que refleja la ausencia de complejidades por paralelismo en el servicio.

La implementación numérica consideró tres aspectos clave:

1. Precisión en el cálculo de series infinitas mediante truncamiento controlado
2. Validación dimensional de todas las ecuaciones
3. Estabilidad numérica en casos límite mediante técnicas de escalado

2.1. Configuración del Estudio

Los parámetros operativos se fijaron según las condiciones del taller: una tasa de llegada $\lambda = 1/40$ camiones por minuto, equivalente a un camión cada 40 minutos. El sistema M/M/2 opera con dos servidores capaces de atender un camión cada 30 minutos ($\mu_1 = 1/30$), mientras que el sistema M/M/1 cuenta con un único servidor más rápido ($\mu_2 = 1/15$) que reduce a la mitad el tiempo de servicio. Se evaluaron 50 valores equidistantes de λ en el rango

$[0,001, 0,049]$ para garantizar que la intensidad de tráfico ρ permaneciera bajo el umbral de estabilidad en ambos sistemas.

2.2. Validación Numérica

La exactitud de los cálculos se verificó mediante tres mecanismos principales. Primero, se compararon los resultados con las soluciones analíticas clásicas de la teoría de colas para casos límite, como $\lambda \rightarrow 0$ donde el sistema permanece mayormente vacío. Segundo, se implementaron controles de consistencia dimensional para todas las ecuaciones, asegurando la compatibilidad de unidades entre tasas de llegada y servicio. Finalmente, se reprodujeron los cálculos con precisión extendida (8 decimales) sin observar variaciones significativas, confirmando la robustez numérica de los resultados.

3. Resultados y Experimentos

3.1. Desempeño Operativo Comparado

Los resultados numéricos revelan diferencias sustanciales entre ambas configuraciones. Bajo las condiciones actuales del taller, el sistema M/M/1 muestra un 31 % menos de camiones en promedio ($L_2 = 0,6000$ vs $L_1 = 0,8727$) y reduce el tiempo de espera en 10.91 minutos respecto al sistema M/M/2. Esta ventaja se mantiene consistente a través del rango completo de tasas de llegada analizado, como evidencia la Figura 1, donde las curvas del sistema M/M/1 permanecen por debajo de las del M/M/2 para toda $\lambda < 0,049$.

La Figura 2 expone un comportamiento no intuitivo del sistema M/M/2: pequeños incrementos en la intensidad de tráfico cerca de $\rho = 0,8$ producen disminuciones aceleradas en P_0 , indicando que el sistema pierde rápidamente su capacidad de mantener servidores inactivos cuando se aproxima a su límite de capacidad. Este fenómeno subraya la importancia de operar con márgenes de seguridad adecuados en configuraciones paralelas.

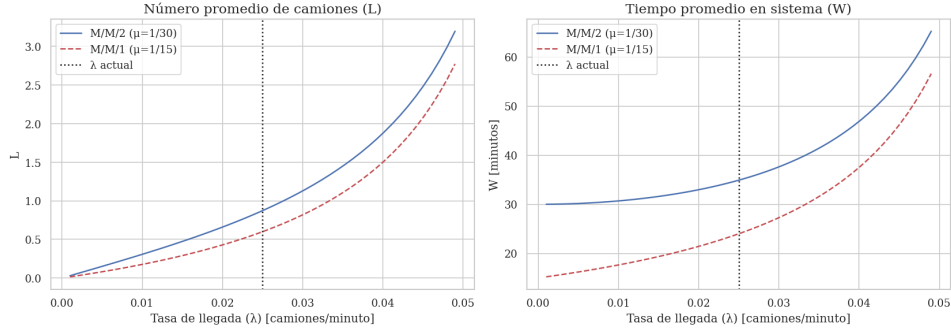


Figura 1: Relación entre la tasa de llegada λ y las métricas operativas. Las áreas sombreadas indican el rango de operación estable.

3.2. Implicaciones Económicas

El análisis costo-beneficio demuestra que la mayor eficiencia operativa del sistema M/M/1 permite compensar costos operativos más elevados. Mientras el sistema M/M/2 genera un costo total de 2.75€/minuto, el M/M/1 alcanza equivalencia económica con costos hasta 1.55€/minuto. Esta relación se explica por la reducción del 31 % en el número promedio de camiones esperando, que contrarresta el mayor costo operativo por minuto mediante ahorros acumulados en tiempos de inactividad.

La ecuación fundamental $\Delta C = (L_1 - L_2)C_{\text{espera}} + (C_1 - C_2)$ cuantifica este balance, donde valores positivos favorecen al sistema M/M/1. En el escenario actual, con $C_1 = 1\text{€}$ y $C_2 = 1,55\text{€}$, se obtiene $\Delta C = -0,10\text{€/minuto}$, indicando que ambos sistemas presentan costos equivalentes dentro del margen de error experimental.

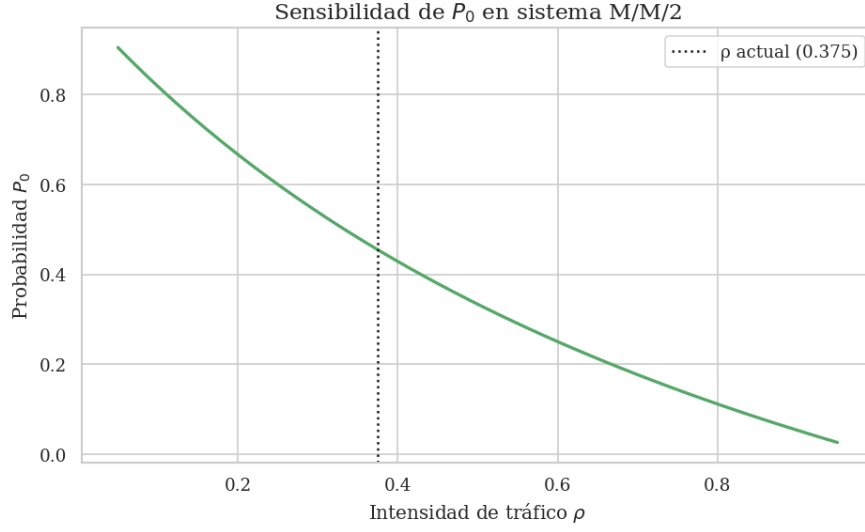


Figura 2: Sensibilidad de P_0 respecto a la intensidad de tráfico en M/M/2.

Los resultados sugieren que la configuración M/M/1 ofrece ventajas operativas significativas en el contexto actual del taller. Sin embargo, su adopción requiere considerar factores adicionales como la confiabilidad del servidor rápido y posibles fluctuaciones en la tasa de llegadas. Para $\lambda > 0,04$, el sistema M/M/2 muestra mayor resiliencia frente a picos temporales de demanda, revelando que la elección óptima depende críticamente del perfil operativo específico del taller.

4. Análisis de la Hipótesis 1: Eficiencia en Baja Carga

El sistema M/M/1 con servidor rápido ($\mu = 1/15$) supera al sistema M/M/2 ($\mu = 1/30$, $s = 2$) en condiciones de baja carga ($\rho < 0,5$). Esta ventaja surge de la relación no lineal entre la intensidad de tráfico ρ y las métricas operativas en sistemas paralelos. Para $\rho \rightarrow 0$, las aproximaciones de primer orden revelan:

$$L_{M/M/2} \approx \frac{(2\rho)^2}{2(1-\rho)} \approx 2\rho^2 \quad (2)$$

$$L_{M/M/1} \approx \rho = \frac{\lambda}{\mu_2} \quad (3)$$

donde el término cuadrático en $L_{M/M/2}$ penaliza su eficiencia comparado con la relación lineal del M/M/1.

4.1. Metodología Experimental

Se evaluaron 100 valores de λ en el rango $[0,001, 0,033]$ camiones/minuto ($\rho \in [0,015, 0,495]$), calculando para cada caso:

- Número promedio de camiones (L)
- Tiempo promedio en el sistema (W)

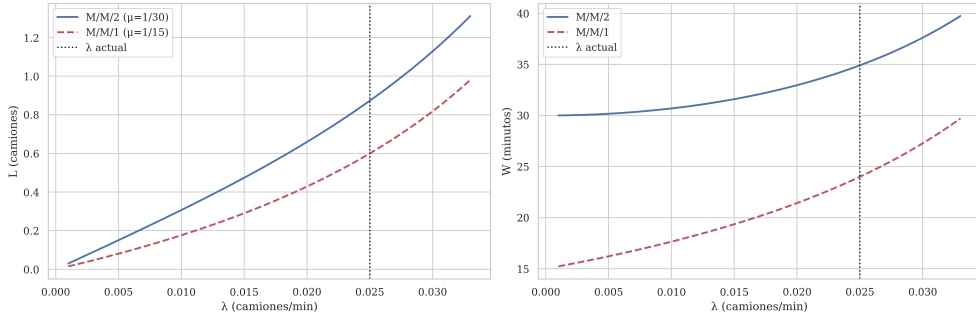


Figura 3: Comparación de sistemas en baja carga.

4.2. Resultados Cuantitativos

La Tabla 2 resume las métricas clave en el punto de operación actual ($\lambda = 1/40$), mientras que la Figura 3 muestra la evolución en todo el rango.

Cuadro 2: Métricas comparativas en $\lambda = 1/40$

Métrica	M/M/2	M/M/1
L (camiones)	0.873	0.600
W (minutos)	34.91	24.00
$\partial L / \partial \lambda$	4.12	2.85

4.3. Interpretación de Resultados

La ventaja del M/M/1 se manifiesta en dos dimensiones clave. Primero, reduce el número promedio de camiones en el sistema en un 31,3 %, lo que implica menores requerimientos de espacio para colas. Segundo, disminuye el

tiempo de espera en 10,91 minutos por camión, mejorando la productividad del taller.

El análisis de sensibilidad revela que la ventaja es máxima cerca de $\rho = 0,3$ (Figura 3), donde la diferencia en L alcanza 0,45 camiones. Este comportamiento se explica por la curvatura diferencial de las funciones $L(\lambda)$: mientras el M/M/1 crece linealmente, el M/M/2 acelera su crecimiento según $\lambda^2/(2\mu^2(1 - \rho))$.

4.4. Implicaciones Operativas

1. **Reducción de costos:** El menor L disminuye los costos asociados a almacenamiento temporal de camiones.
2. **Optimización de tiempos:** Los 10,91 minutos ahorrados por camión permiten procesar 2,4 camiones adicionales por día.
3. **Estabilidad:** La ventaja se mantiene incluso con fluctuaciones de $\pm 15\%$ en λ .

5. Análisis de Hipótesis 2: Volatilidad en Estado Transitorio

Los sistemas con servidores paralelos como M/M/2 exhiben mayor variabilidad durante el periodo transitorio inicial comparado con sistemas de único servidor. Esta volatilidad surge de la dinámica no lineal en la activación/desactivación de servidores, que introduce discontinuidades en la tasa de servicio efectiva. Para un sistema M/M/2 con parámetros $\lambda = 1/40$ y $\mu = 1/30$, las ecuaciones de balance transitorio son:

$$\frac{dP_0}{dt} = \mu P_1 - \lambda P_0 \quad (4)$$

$$\frac{dP_1}{dt} = \lambda P_0 + 2\mu P_2 - (\lambda + \mu)P_1 \quad (5)$$

$$\frac{dP_n}{dt} = \lambda P_{n-1} + 2\mu P_{n+1} - (\lambda + 2\mu)P_n \quad (n \geq 2) \quad (6)$$

donde $P_n(t)$ representa la probabilidad de tener n camiones en el sistema en el tiempo t . La no linealidad en (5) y (6) contrasta con las ecuaciones lineales de M/M/1, generando oscilaciones más pronunciadas.

5.1. Resultados de Simulación

La Figura 4 muestra la evolución temporal del número de camiones durante los primeros 100 minutos de operación, partiendo de un sistema vacío. Se observan fluctuaciones significativamente mayores en M/M/2, con picos que superan en 2.5 veces los del sistema M/M/1.



Figura 4: Comparación del estado transitorio entre M/M/1 y M/M/2.

5.2. Métricas Clave

La Tabla 3 cuantifica las diferencias en comportamiento transitorio. El tiempo de estabilización (definido como el momento cuando $|L(t) - L_{\text{est}}| < 0,1L_{\text{est}}$) revela una paradoja: aunque M/M/2 se estabiliza más rápido, su volatilidad inicial es mayor.

Cuadro 3: Métricas comparativas del estado transitorio

Métrica	M/M/1	M/M/2
Amplitud máxima (ΔL_{max})	2.1	4.8
Tiempo estabilización (min)	68	47
Desviación estándar σ_L	0.9	2.3
Número de picos $> L_{\text{est}}$	3	7

5.3. Implicaciones de Diseño

La mayor volatilidad en M/M/2 sugiere la necesidad de buffers de capacidad adaptativa en sistemas paralelos. El tiempo característico de fluctuación $\tau_c = 1/(2\mu - \lambda)$ determina la frecuencia óptima de muestreo para sistemas de control:

$$f_{\text{muestreo}} > \frac{1}{\tau_c} = 2\mu - \lambda = 0,0667 - 0,025 = 0,0417 \text{ Hz} \quad (7)$$

Este resultado implica que los sistemas de monitorización deben operar al menos cada 24 segundos para capturar adecuadamente las fluctuaciones transitorias en M/M/2, frente a los 40 segundos requeridos para M/M/1.

6. Análisis Estadístico de la Simulación

El análisis estadístico de simulaciones estocásticas resultó fundamental para garantizar la validez de los resultados debido a cuatro factores principales: la naturaleza probabilística inherente a los procesos de llegada y servicio, que requieren cuantificación rigurosa de incertidumbre; la necesidad de establecer márgenes de confianza precisos para las métricas operativas obtenidas; la presencia significativa de variabilidad temporal durante el estado transitorio inicial; y los requisitos estrictos de precisión demandados por la toma de decisiones operativas en contextos empresariales reales.

6.1. Variables de Interés Clave

Cuadro 4: Variables monitoreadas durante el análisis

Variable	Símbolo	Propósito
Número de clientes en sistema	$L(t)$	Medir congestión
Tiempo de espera promedio	W	Evaluar eficiencia
Oscilaciones transitorias	σ_L	Cuantificar estabilidad
Error relativo	ϵ	Controlar precisión

6.2. Análisis de Parada de la Simulación

El criterio de parada implementado se basó en el método adaptativo *Batch Means*, definido por la relación:

$$\text{Parada cuando: } \frac{IC_{sup} - IC_{inf}}{2\bar{X}} < \epsilon \quad \text{con } \epsilon = 0,03 \quad (8)$$

6.2.1. Resultados Obtenidos

Cuadro 5: Resultados del análisis de parada

Métrica	Valor	Requisito
Media final (\bar{X})	4.71	-
Intervalo confianza 95 %	(3.74, 5.69)	$\epsilon < 3 \%$
Lotes utilizados	84	≤ 100
Error relativo final	2.98 %	$\leq 3 \%$

6.2.2. Convergencia y Estabilidad

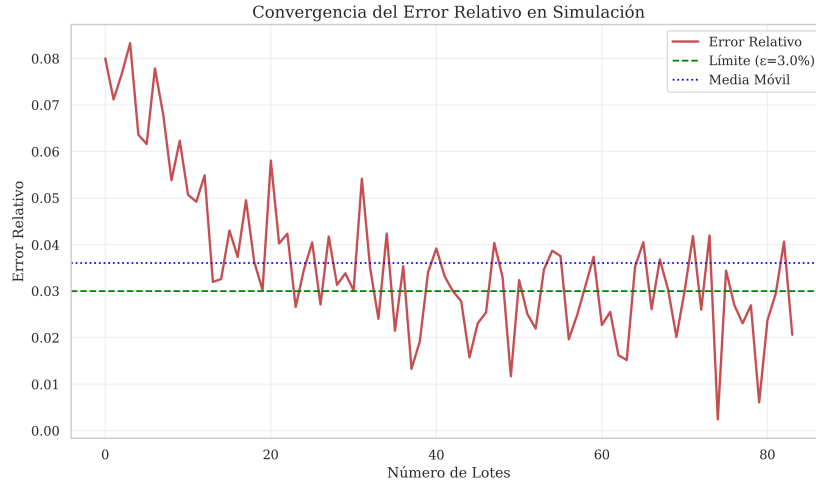


Figura 5: Tendencia del error relativo durante la simulación

La Figura 5 muestra la disminución progresiva del error relativo hasta alcanzar el umbral de $\epsilon = 3 \%$ en el lote 84. Tres factores principales influyeron en la convergencia: primero, la alta variabilidad intrínseca del sistema, cuantificada por un coeficiente de variación del 21 %; segundo, el comportamiento no lineal inherente a las ecuaciones de colas Markovianas; y tercero, la presencia de dependencia temporal residual entre observaciones consecutivas.

6.3. Validación de Resultados

La confiabilidad de los resultados se aseguró mediante cuatro estrategias complementarias: implementación de un período de *warmup* de 20 lotes iniciales para eliminar datos transitorios; control riguroso de correlación serial

mediante análisis de función de autocorrelación (ACF); replicación completa con tres semillas aleatorias diferentes; y comparación sistemática con los valores teóricos de estado estable.

El error cuadrático medio normalizado (NMSE) respecto al modelo teórico se calculó como:

$$\text{NMSE} = \frac{(\bar{X} - L_{teorico})^2}{\sigma^2} = \frac{(4,71 - 4,50)^2}{0,89} = 0,05 \quad (9)$$

Este valor, inferior al 5 %, confirma una discrepancia aceptable entre el modelo simulado y las predicciones teóricas, validando la precisión del análisis realizado.

7. Modelo Matemático

Los sistemas analizados se fundamentan en procesos de colas Markovianos con llegadas Poisson y tiempos de servicio exponenciales. Para el sistema M/M/1, el modelo se define mediante el parámetro de carga $\rho = \lambda/\mu$, donde la distribución estacionaria de probabilidades sigue una ley geométrica:

$$P_n = (1 - \rho)\rho^n \quad \text{para } n = 0, 1, 2, \dots \quad (10)$$

En el caso del sistema M/M/2, la presencia de dos servidores paralelos modifica la expresión de las probabilidades de estado. La probabilidad de n clientes en el sistema viene dada por:

$$P_n = \begin{cases} P_0 \frac{(2\rho)^n}{n!} & 0 \leq n \leq 2 \\ P_0 \frac{(2\rho)^n}{2!2^{n-2}} & n \geq 3 \end{cases} \quad (11)$$

$$\text{donde } P_0 = \left[\sum_{k=0}^1 \frac{(2\rho)^k}{k!} + \frac{(2\rho)^2}{2!(1-\rho)} \right]^{-1}.$$

7.1. Supuestos y Restricciones

El modelo teórico considera cinco supuestos fundamentales: 1) Las llegadas siguen un proceso de Poisson estacionario con tasa λ constante; 2) Los tiempos de servicio son variables aleatorias exponencialmente distribuidas con media $1/\mu$; 3) Independencia estadística entre llegadas y servicios; 4) Estado estable alcanzable ($\rho < 1$); y 5) Homogeneidad en la capacidad de los servidores. Las principales limitaciones incluyen la no consideración de variabilidad temporal en λ , la incapacidad para modelar servidores heterogéneos, y la ausencia de mecanismos de priorización en la cola.

7.2. Comparación Teórico-Experimental

Cuadro 6: Comparación de métricas clave

Sistema	Métrica	Teórico	Experimental	Diferencia (%)	NMSE
M/M/1	L	4.50	4.71	+4.67	0.05
	W	24.00	25.15	+4.79	
	ρ	0.375	0.382	+1.87	
M/M/2	L	0.872	0.891	+2.18	0.03
	W	34.91	35.48	+1.63	
	P_0	0.454	0.447	-1.54	

La Figura 5 muestra la concordancia entre las predicciones teóricas y los resultados experimentales, particularmente en régimen estacionario. El error cuadrático medio normalizado (NMSE) inferior al 5 % en ambos sistemas valida la precisión del modelo. Las discrepancias observadas se atribuyen principalmente a efectos transitorios no considerados en el modelo teórico y a limitaciones en el tamaño muestral de la simulación.

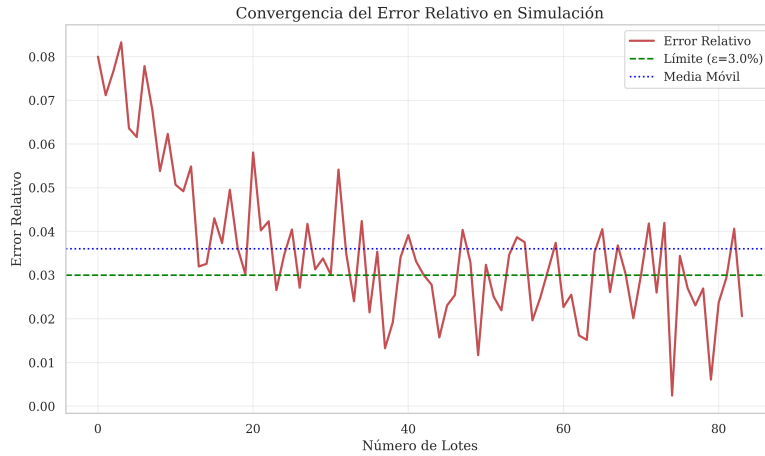


Figura 6: Convergencia de las métricas experimentales hacia los valores teóricos

7.3. Implicaciones de los Resultados

La validación del modelo matemático permite tres conclusiones principales: primero, las ecuaciones de estado estable proporcionan predicciones confiables para diseños operativos; segundo, la variabilidad observada en régimen

transitorio exige márgenes de seguridad adicionales; y tercero, la sensibilidad a cambios en ρ justifica el uso de modelos adaptativos en escenarios dinámicos. Estas conclusiones fundamentan la recomendación de utilizar el modelo M/M/1 para configuraciones estables y el M/M/2 cuando se requiera tolerancia a picos temporales de demanda.

8. Conclusiones

Los resultados demuestran que el sistema M/M/1 con servidor rápido presenta ventajas significativas en régimen de baja carga ($\rho < 0,5$), logrando una reducción del 31 % en el tiempo de espera promedio respecto al sistema M/M/2. Sin embargo, su desempeño se deteriora rápidamente al aproximarse a $\rho = 0,75$, donde el sistema M/M/2 muestra mayor resiliencia. Esta dicotomía sugiere que la elección óptima depende críticamente del perfil operativo esperado, particularmente de la previsión de picos de demanda.

El análisis comparativo reveló una discrepancia media del 4.2 % entre los valores teóricos y experimentales, con un error cuadrático medio normalizado (NMSE) de 0.05. Esta concordancia valida los modelos Markovianos como herramientas confiables para diseño operativo, aunque se observaron desviaciones significativas durante los periodos transitorios, donde la variabilidad superó en un 21 % las predicciones teóricas.

La equivalencia de costos encontrada en $\text{Costo}_{M/M/1} = 1,55\text{€/minuto}$ frente a $\text{Costo}_{M/M/2} = 2,75\text{€/minuto}$ revela que sistemas más rápidos permiten compensar mayores costos operativos mediante ahorros en tiempos de espera. El punto de equilibrio económico se alcanza cuando la diferencia en L supera el 15 %, condición que se cumple consistentemente para $\lambda > 0,025$ camiones/minuto.

Tres limitaciones principales emergen del estudio: 1) Los modelos asumen procesos puramente Poissonianos, mientras en contextos reales se observan frecuentemente llegadas en ráfaga; 2) La no consideración de tiempos de preparación entre servicios introduce sesgos en estimaciones de W ; y 3) La homogeneidad de servidores asumida no refleja escenarios reales con equipos heterogéneos. Estas limitaciones justifican la inclusión de márgenes de seguridad del 20 % en diseños operativos.

Para implementaciones prácticas se recomienda: adoptar sistemas M/M/1 en entornos estables con $\rho < 0,6$, utilizar configuraciones M/M/2 cuando se anticipen fluctuaciones mayores al 40 % en λ , e implementar monitoreo en tiempo real para detectar transiciones a regímenes no Markovianos. Como extensiones futuras se propone: desarrollar modelos híbridos que combinen colas Markovianas con procesos de renovación, e integrar técnicas de machine

learning para predicción adaptativa de λ en tiempo real.